

(Для случая, когда поле приложено вдоль оси трудного намагничивания, см. рис. 3 к ст. *Магнитный фазовый переход*.)

Вдали от T_c в слабых полях ФМ ведёт себя подобно ферромагнетику, а вблизи T_c — подобно антиферромагнетику, что приводят к возникновениюмагн. фазового перехода 1-го рода в угл. фазу. Наличие анизотропии более высоких порядков приводят к ещё более сложному характеру переориентации. На рис. 7 показанымагн. фазовые

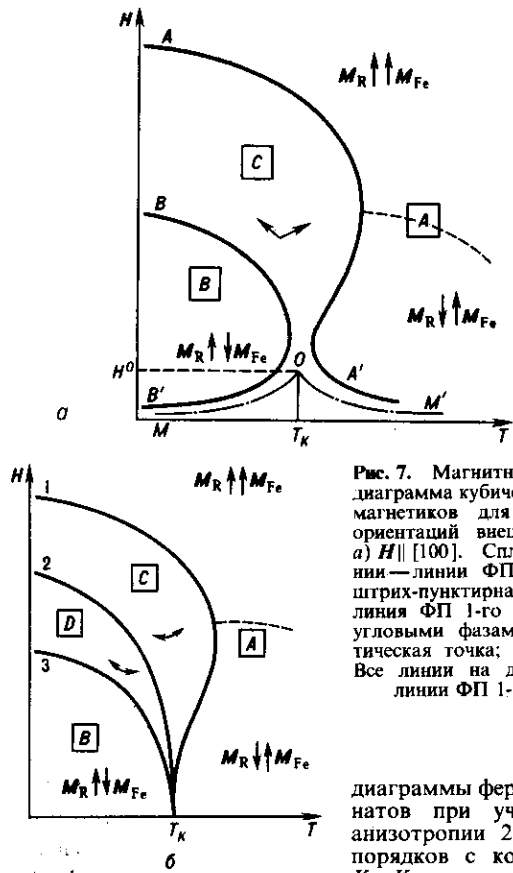


Рис. 7. Магнитная фазовая диаграмма кубических ферромагнетиков для различных ориентаций вибрирующего поля: а) $H \parallel [100]$. Сплошные линии — линии ФП 2-го рода: штрих-пунктирная линия — линии ФП 1-го рода между угловыми фазами, O — критическая точка; б) $H \parallel [111]$. Все линии на диаграмме — линии ФП 1-го рода.

K_1, K_2 в слое α для ориентации поля вдоль кристаллической оси [100] и [111]. В первом случае на диаграмме существует *трикристическая точка*, типа наблюдаемой на диаграмме пар — жидкость, а во втором — все фазовые переходы являются переходами 1-го рода.

Свойства ФМ, в к-рых энергия магн. анизотропии порядка энергии межподрешёточного ОВ, значительно отличаются от свойств слабоанизотропных ФМ. Переход в индуци-

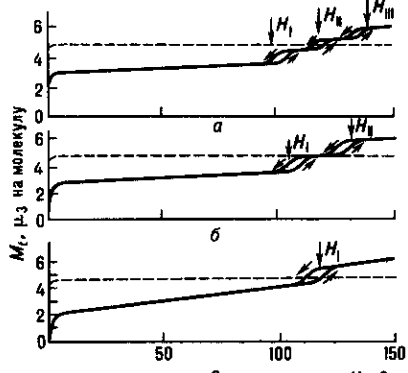


Рис. 8. Кривые намагничивания феррит-граната $\text{Y}_{2.75}\text{Ho}_{0.25}\text{Fe}_5\text{O}_{12}$ (сплошные линии); $\text{Y}_3\text{Fe}_5\text{O}_{12}$ (пунктир) при $T = 4.2$ К для различных направлений внешнего поля: а) $H \parallel [111]$, б) $H \parallel [110]$, в) $H \parallel [100]$.

рованное полем ферромагн. состояние происходит путём одного или неск. фазовых переходов 1-го рода (рис. 8).

Вблизи T_c наблюдается целый ряд аномалий физ. свойств ФМ: значит. рост коэрцитивной силы, температурный гистерезис намагниченности, аномалии магнитострикции и магнитокалорич. эффекта (рис. 9) и увеличение размеров доменов. Константы Верде, Холла и др. подобные характеристики в T_c не обращаются в нуль, а обнаруживают достаточно сложную зависимость от темп-ры и поля,

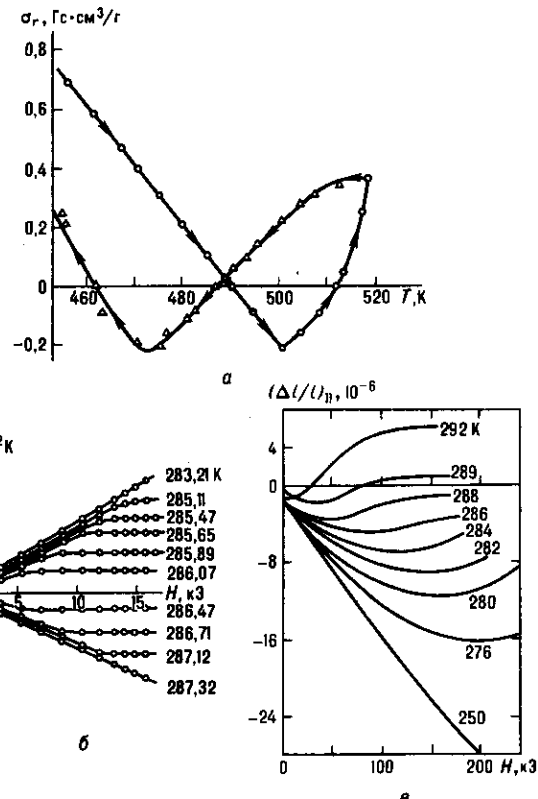


Рис. 9. Аномалии физических свойств ферримагнетиков вблизи точки магнитной компенсации: *a* — температурный гистерезис намагниченности σ , соединения ErFe_2 ; *b* — магнитокалорический эффект в феррит-гранате $\text{Gd}_3\text{F}_5\text{O}_{12}$; *c* — продольная магнитострикция феррита-граната $\text{Gd}_3\text{F}_4\text{O}_{12}$.

что связано с различием соответствующих вкладов, вносимых подрешётками, в силу их разл. кристаллохим. природы.

Элементы микроскопической теории ферромагнетизма. При низких темп-рах классич. теория Ф. становится неприменимой и свойства ФМ описываются квантовой теорией. Для изотропного двухподрешёточного ФМ с подрешётками 1 и 2 гамильтониан может быть записан в виде

$$\hat{H} = -\frac{1}{2} \sum_{<ij>} (I_{ij}^{11} \hat{S}_{1i} \hat{S}_{1j} + I_{ij}^{22} \hat{S}_{2i} \hat{S}_{2j} - I_{ij}^{12} \hat{S}_{1i} \hat{S}_{2j}), \quad (5)$$

где суммирование проводится по всеммагн. ионам i и j ; S_{ij} —спиновые операторы; символ $\langle \dots \rangle$ —означает суммирование по ближайшим соседям; I_{ij}^H —обменные интегралы. Простейшему приближению на основе гамильтониана (5) в случае низких темп-р соответствует теория спиновых волн.

В рамках полуклассич. описания спиновым волнам соответствует прецессия магн. моментов μ_k , ионов, находящихся в узлах кристаллич. решётки r_i , с частотой ω и волновым вектором k по закону

$$\mu_{ik} = \mu_{i0} + m_{ik} \exp i(\omega t - kr_i), \quad (6)$$